

# **DEPREM MÜHENDİSLİĞİNDE "SİSTEM TANIMLAMASI" YÖNTEMLERİ VE UYGULAMALARI**

## **SYSTEM IDENTIFICATION TECHNIQUES AND APPLICATIONS IN EARTHQUAKE ENGINEERING**

Uğur Kadakal<sup>1</sup>, Özal Yüzügüllü<sup>2</sup>

### **SUMMARY**

In this paper, after a short theoretical introduction to the existing system identification techniques, these techniques have been applied for the analysis of the earthquake records belonging to a highrise building which enabled the determination of modal frequencies and damping values in a more refined manner. A new technique has been introduced and applied for this purpose.

### **ÖZET**

Bu çalışmada sistem tanımlaması ile ilgili mevcut yöntemlere kısa bir teorik girişim ve ardından bu teknikler kullanılarak yüksek katlı bir binada alınan deprem kayıtları analiz edilmiş ve yapınin modal frekans ve sönüüm değerleri yüksek bir hassasiyetle bulunmuştur. Türkiye'deki deprem kayıt cihazlı yapı sayısı çok kısıtlı olduğundan, San Fransisco'daki Transamerica binası seçilmiş ve 1989 Loma Prieta depremi kayıtları analiz edilmiş ve hassasiyeti artırmak için yeni bir yöntem uygulanmıştır (Kadakal, 1995).

### **GİRİŞ**

Son yıllarda başta ABD olmak üzere birçok ülkede değişik tipte yapılara deprem ölçüm cihazları yerleştirilerek, deprem sırasındaki davranışları tespit edilmeye çalışılmaktadır. Özellikle 1989 Loma Prieta ve 1994 Northridge depremleri sırasında başta binalar olmak üzere birçok köprü ve barajlarda deprem kayıtları alınmıştır. Alınan kayıtlar farklı tipte binaların

---

<sup>1</sup> Araş. Gör. Northeastern Üniversitesi, İnşaat Mühendisliği Bölümü, Boston, A.B.D.

<sup>2</sup> Prof. Dr. B.Ü., K.R.D.A.E. Deprem Mühendisliği Anabilim Dalı, Çengelköy, İstanbul

deprem sırasındaki performanslarını ortaya çıkarması açısından çok önemlidir. Yakın zamana kadar bu tip kayıtların işlenmesi için frekans tanım alanındaki yöntemler (Fourier ve davranış spektrumları ile transfer fonksiyonları) kullanılmaktadır. Bu yöntemlerin en önemli dezavantajı hassas sonuçlar verememeleridir. Örneğin bir binanın deprem kayıtlarının bu yöntemlerle incelenmesi sonucunda frekans değerleri ve özellikle sönümler çok kabaca ve geniş güvenilirlik aralıkları dahilinde bulunabilmektedir (Kadakal, 1994). Ancak son yıllarda özellikle elektronik mühendisliğinde çokça kullanılan zaman tanım alanındaki sistem tanımlaması tekniklerinin deprem mühendisliğinde de kullanım alanı bulması ile yapılardan elde edilen deprem kayıtlarının değerlendirilmesiyle çok daha hassas ve güvenilir sonuçlara ulaşılması mümkün olmuştur (Şafak ve Çelebi, 1991, 1992).

## TEORİ

Linear dinamik bir sistemin  $u(t)$  zorlaması altındaki davranış modal analiz yöntemleri ile aşağıdaki gibi formüle edilebilir

$$\ddot{y}_n + 2\omega_i \xi_i \dot{y}_n + \omega^2_i y_n = -\alpha_n \ddot{u} \quad (1)$$

burada  $\xi_i$  ve  $\omega_i$  i'inci moda ait sönum ve açısal frekansı,  $y_n$  n'inci serbestlik derecesindeki sistem hareketini ve  $\alpha_n$  de yine n'inci serbestlik derecesine ait katkı faktörünü temsil etmektedir. Aynı sistemi aşağıdaki şekilde de yazmak mümkündür (Ljung, 1987)

$$y(t) + a_1 y(t-1) + \dots + a_{n_a} y(t-n_a) = b_1 u(t-1) + \dots + b_{n_b} u(t-n_b) + e(t) \quad (2)$$

burada  $u$  sistemin girdisi,  $y$  ise  $u$  nun yarattığı çıktı ve  $e(t)$  ise 'gelişigüzel gürültü' olarak tanımlanmıştır. Bu şekilde tanımlanan model ARX olarak bilinir. Formül 2'deki bilinmeyenler  $\theta$  vektörü olarak adlandırılır:

$$\theta = [a_1 a_2 \dots a_{n_a} b_1 b_2 \dots b_{n_b}]^T \quad (3)$$

En küçük kareler yöntemi ile  $\theta$  vektörü aşağıdaki şekilde hesaplanabilir (Ljung, 1987)

$$\hat{\theta}_N^{LS} = \left[ \frac{1}{N} \sum_{t=1}^N \varphi(t) \varphi^T(t) \right]^{-1} \frac{1}{N} \sum_{t=1}^N \varphi(t) y(t) \quad (4)$$

burada  $N$ ,  $u$  girdisi ve  $y$  çıkışındaki veri sayısı ve  $\varphi(t)$  ise regresyon vektörü olarak aşağıdaki gibi tanımlanır.

Formül 4'un kullanılması ile bulunan  $\theta$  vektörü fiziksel bir anlam taşımamakla beraber,

$$\varphi(t) = [-y(t-1) \dots -y(t-n_a) u(t-1) \dots u(t-n_b)]^T \quad (5)$$

deprem mühendisliğinde önem taşıyan modal frekans ve sönüüm değerlerine çevrilebilir (Şafak, 1988).

$$\xi_i = \frac{\ln(\frac{1}{r_i})}{\sqrt{\phi_i^2 + \ln^2(\frac{1}{r_i})}} \quad f_i = \frac{\ln(\frac{1}{r_i})}{2\pi\xi_i T} \quad (6)$$

Burada T, u ve y verilerine ait örneklemme aralığı,  $r_i$  ve  $\phi_i$  değerleri de aşağıdaki gibi hesaplanabilir.

$$r_i = p_i p_i^* \quad \phi_i = \tan^{-1} \left[ \frac{\text{Im}(p_i)}{\text{Re}(p_i)} \right] \quad (7)$$

Burada  $p_i$ , 0 vektöründeki parametrelerin oluşturduğu i'inci kompleks kökü,  $p_i^*$  ise kompleks eşeniğini temsil etmektedir. Im ve Re ise kökün kompleks ve real kısımlarını gösterir.

Sistem tanımlaması analizindeki en büyük zorluklardan biri model parametreleri olan  $n_a$  ve  $n_b$  değerlerinin belirlenmesidir. Bu değerler sırasıyla girdi ve çıktı modellerinin büyülüüğünü gösterir. Analiz sonucunda  $n_a/2$  kadar moda ait frekans ve sönüüm değeri bulunacağından dolayı,  $n_a$  hesaplanması amaçlanan mod sayısının iki katından fazla olmalıdır. Bir diğer zorluk da binalarda birden fazla kat seviyesinde deprem kaydı alındığı için analizde kullanılacak y çıktısının seçilmesidir. Ancak şu da bilinmektedir ki farklı katlarda alınan kayıtlarda farklı modlara ait bilgiler daha etken olmaktadır. Örneğin, birinci moda ait değerleri bulmak için en üst kataki kayıt kullanılırken, ikinci ve üçüncü modlar için ara katlardaki kayıtlar daha sağlıklı sonuçlar verebilmektedir.

Model parametrelerinin ( $n_a$  ve  $n_b$ ) değerleri bulunduktan ve kullanılacak y çıktısı belirlendiğten sonra formül 4 ve ardından 6 kullanılarak modal frekans ve sönüüm değerleri hesaplanır. Ancak bu değerlerin ne kadar gerçekçi oldukları hala bilinmemektedir. Modal frekans ve sönüüm değerlerinin kontrolü için aşağıda açıklanan yöntem kullanılabilir (Kadakal, 1995). Analize başlamadan önce Fourier veya davranış spektrumları yardımıyla yapı frekansları ( $f_i$ ) kabaca bulunabilir. Bu başlangıç değerleri kullanılarak, analiz sonucunda bulunacak her moda ait  $f_i$  ile başlangıç frekans değeri arasındaki fark ile tanımlanan frekans

kriteri  $c_{fi}$  belirlenir. Benzer şekilde kabul edilebilir en yüksek sönüm şeklinde tanımlanan sönüm kriteri  $c_{di}$  da belirlenir. Sönüüm kriteri belirlenirken yapı tipi (betonarme veya çelik) önemli bir faktör olmaktadır. Sistem tanımlaması analizi sonucunda bulunan değerlerden sadece bu iki kriteri aynı anda sağlayanlar kabul edilir. Bu kriterlerin kullanılmasının bir diğer avantajı da analiz sonucunda sadece yapıya ait frekans ve sönüüm değerlerinin seçilmesi çevresel etkenlerden ve gürültüden dolayı bulunabilecek yapı ile ilgisi olmayan frekans ve sönüüm değerlerinin analiz dışı bırakılmalarını sağlamalarıdır. Bir sonraki bölümde de açıklanacağı gibi her aşamada frekans ve sönüüm kriterleri daha konservatif seçilebilir.

## ANALİZ YÖNTEMİ

Modal frekans ve sönüüm değerleri bulunurken Şekil.1 de verilen akış diyagramı takip edilmiştir. Analize başlamadan önce Fourier veya davranış spektrumları aracılığıyla yapı frekansları kabaca bulunur. Farklı  $n_a(20,22,...,50,..)$  değerlerine sahip  $n_k$  tane model yaratılarak  $n'$ inci serbestlik derecesine ait kayıtlar vasıtası ile sistem parametreleri olan  $f_{in}^k$  ve  $\xi_{in}^k$  ( $i$ 'inci moda ait,  $n'$ inci serbestlik derecesindeki kayıt kullanılarak bulunan model büyülügü  $n_a$  olan modelden hesaplanan parametreler) değerleri frekans ve sönüüm kriterleri kullanılarak belirlenir. Genellikle başlangıçta her mod için birden fazla frekans ve sönüüm değeri kriterleri sağladığı için (özellikle yüksek  $n_a$  değerleri için)  $c_{fi}$  ve  $c_{di}$  kriterleri daha konservatif seçilerek bir tek frekans ve sönüüm bulunana kadar analiz bu şekilde tekrarlanır. Ardından  $n_k$  tane farklı model sonucunda bulunan değerlerin ortalamaları ve standart sapmaları bulunur ( $f_{in}, \xi_{in}$  ve  $std(f_{in}), std(\xi_{in})$ ). Daha sonra  $n$  farklı veriden bulunan değerlerden standart sapmaları en düşük olanlar sonuç değerleri olarak belirlenir ( $f_i, \xi_i$ ). Standart sapmanın en düşük olduğu serbestlik derecesindeki kayıt o moda ait sinyal-gürültü oranının en yüksek olduğu veridir. Eğer bulunan  $f_i, \xi_i$  değerleri yeterince hassas değil ise bu değerler ile akış diyagramının başına dönünlerek tüm analiz tekrarlanır.

## UYGULAMA

Bir önceki bölümde özetlenen yöntem San Fransisco'daki Transamerica binasının modal parametrelerini Loma Prieta depremi kayıtları ile bulunması için kullanılmıştır. Transamerica 60 katlı, piramit şekilli çelik bir yapıdır. Bu yapıya ait farklı zamanlarda yapmış bir çok dinamik test (Stephen, 1974) sonuçları elde bulunmaktadır (Tablo.1,2,3).

Şafak ve Çelebi (1991) Loma Prieta kayıtlarını kullanarak Transamerica binasının modal frekans ve sönüüm değerlerini yine ARX modeli kullanarak bulmuşlardır (Tablo.4,5). NS (Kuzey - Güney) ve EW (Doğu - Batı) doğrultularındaki modal frekans ve sönüümleri bulmak için sırasıyla  $n_a=30$ ,  $n_b=10$  ve  $n_a=36$  ,  $n_b=8$  model parametrelerini kullanmışlardır.

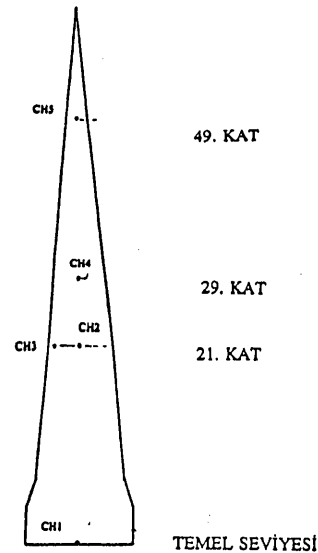
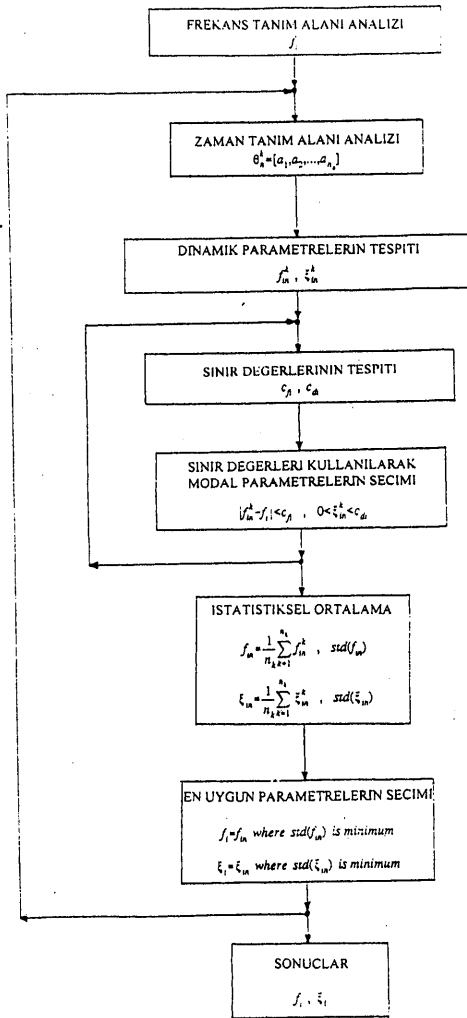
Burada Şafak ve Çelebi'nin çalışmasından farklı olarak Şekil.1 de akış diyagramı verilen ve daha önceki kısımlarda açıklanan yöntem kullanılarak farklı yönlerdeki (NS, EW, burulma) modal parametreler yüksek bir hassasiyetle hesaplanmıştır. Öncelikle her yönde tek bir model

yerine NS ve EW için 9'ar ( $n_a=9$ ) ve burulma yönünde 15 ( $n_b=15$ ) farklı model kullanılmıştır. Bu modellerde kullanılan  $n_a$  ve  $n_b$  değerleri 30 ile 80 arasında değişmektedir. Bu analizde kullanılan kayıtlar binanın çeşitli noktalarına yerleştirilen akselerometrelerden elde edilmiştir (Şekil.2). Tüm analizlerde u girdisi CH1 kaydı, çıktılar ise CH2,3,4,5 olarak seçilmiştir. Burulma modlarını daha hassas hesaplayabilmek için 21 kattan alınan aynı doğrultudaki iki kayıt birbirinden çıkartılarak (CH3-CH2) yatay yönde modun etkisi azaltılmış ve burulmalı modun etkisi (sinyal-gürültü oranı) arttırılmıştır. Analiz sonucunda bulunan modal parametrelerle bunlara ait standart sapmalar Tablo.6,7,8 de verilmiştir. Özellikle ilk modlara ait standart sapmaların çok düşük olması analiz sonuçlarının hassallığını yansıtması açısından önemlidir.

## SONUÇLAR

Herhangi bir yapıdan alınan deprem kayıtları kullanılarak yapıya ait modal frekans ve sönümlerinin zaman tanım alanındaki sistem tanımlaması yöntemleri kullanılarak geleneksel frekans tanım alanındaki Fourier ve davranış spektrumu gibi yöntemlere oranla çok daha hassas sonuçlar bulunabileceğinin gösterilmiştir. Sistem tanımlaması yöntemlerinin uygulamaları sırasında sıkça karşılaşılan model parametreleri ( $n_a$  ve  $n_b$ ) ve veri seçimi gibi zorluklar da bu çalışmada önerilen ve Şekil.1 de akış diyagramı gösterilen yöntem kullanılarak yenilmiştir. Bu yöntemin kullanılması ile hem binaya ait olan modlar kolaylıkla tespit edilmiş hem de modal frekans ve sönümlerinin hassas bir şekilde belirlenmiştir.

Tablo.9 ve 10'da 29'uncu katta alınan kayıtlar (CH4) kullanılarak yapılan analizde bulunan modal parametreler verilmiştir. Tablo.6,7,8 ile karşılaştırıldığında aralarında çok büyük bir fark olmadığı görülmektedir. Bu da göstermektedir ki sistem tanımlaması yöntemlerinin kullanılması ile yapının burulmalı doğrultudaki modları sadece bir kayıttan faydalılabilecek bulunmaktadır. Böylece yapı frekans ve sönümlerini belirlemek için yapılacak cihazlandırmalarda sadece zemin kat ve bir ara kata deprem ölçüm cihazı yerleştirilmesi yeterli olacak ve bu da maliyeti çok yüksek olan cihazlandırma projelerini daha ucuz hale getirebilecektir. Tablo.6,7,8'de görüldüğü gibi hesaplanan modal parametrelerin çoğunuğu en üst seviyedeki kayıt kullanılarak değil de ara kattaki kayıt kullanılarak elde edilmiştir. Ara kattaki kayıtta salınım genlikleri daha düşük olmasına rağmen özellikle ilk moddan sonraki modlara ait sinyal-gürültü oranları en üst kattaki kayıtda oranla yüksek olduğundan daha hassas değerler hesaplanabilmiştir. Bu da göstermektedir ki, yerleştirilecek ölçüm cihazı en üst kat seviyelerine değil de ara katlara yerleştirilmelidir.



Şekil 2. Transamerica Binası

Şekil 1. Sistem Tanımlaması Akış Diyagramı

Tablo.1. Transamerica zorlanılmış titresim test sonuçları

	mod 1	mod 2	mod 3	mod 4	mod 5	mod 6
	f	$\xi$	f	$\xi$	f	$\xi$
N-S	0.345	0.009	0.635	0.014	1.170	0.015
E-W	0.345	0.014	0.635	0.016	1.130	0.015
TOR					0.895	0.026
					1.395	0.022

Tablo.2. Transamerica serbest titresim test sonuçları

	mod 1	mod 2	mod 3	mod 4	mod 5	mod 6
	f	$\xi$	f	$\xi$	f	$\xi$
N-S	0.337	0.027	0.630	0.017	0.880	0.012
E-W	0.330	0.028	0.616	0.018	0.843	0.012
TOR	0.447	0.023	0.814	0.016	1.060	0.011
					1.270	0.009

Tablo.3. Transamerica analitik modelleme sonuçları

	mod 1	mod 2	mod 3	mod 4	mod 5	mod 6
	f	$\xi$	f	$\xi$	f	$\xi$
N-S	0.326		0.631		0.960	
E-W	0.326		0.648		0.994	
TOR	0.350		0.191		0.657	
					0.996	
					1.380	

Tablo.4. NS yönündeki sistem tanımlanması analiz sonuçları (Şafak, Çelbi, 1991)

	mod	f (Hz)	$\xi$
	1	0.2910	0.0485
	2	1.3557	0.0230
	3	0.7495	0.0764
	4	1.0845	0.0543
	5	1.4233	0.0432
	6	0.9651	0.0744
	7	2.5291	0.0291
	8	2.9692	0.0249
	9	1.7340	0.0514
	10	2.1616	0.0437
	11	1.7177	0.0564
	12	2.8599	0.0438
	13	2.1359	0.0659
	14	2.5077	0.0634
	15	0.6432	0.2744

Tablo 6. Bu çalışmada bulunan NS yönündeki sonuçlar

mod	kayıt	f (Hz)	std	$\xi$	std
1	CH5	0.2804	0.0002	0.0195	0.0010
2	CH2	0.5419	0.0008	0.0122	0.0019
3	CH2	0.8096	0.0013	0.0138	0.0018
4	CH4	0.9774	0.0015	0.0310	0.0057
5	CH4	1.3374	0.0047	0.0358	0.0034
6	CH4	1.6816	0.0026	0.0214	0.0033

Tablo 7. Bu çalışmada bulunan EW yönündeki sonuçlar

mod	kayıt	f (Hz)	std	$\xi$	std
1	CH4	0.2729	0.0001	0.0129	0.0001
2	CH4	0.5153	0.0002	0.0177	0.0003
3	CH2	0.7763	0.0013	0.0247	0.0027
4	CH4	0.9647	0.0023	0.0120	0.0043
5	CH5	1.2046	0.0080	0.0381	0.0050
6	CH5	1.5389	0.0179	0.0399	0.0111

Tablo 8. Bu çalışmada bulunan bırunaklı yönündeki sonuçlar

mod	kayıt	f (Hz)	std	$\xi$	std
1	CH3-CH2	0.3119	0.0080	0.0724	0.0223
2	CH3-CH2	0.6120	0.0141	0.0445	0.0285
3	CH3-CH2	0.8579	0.0078	0.0447	0.0136
4	CH3-CH2	1.1072	0.0096	0.0398	0.0090

Tablo 5. EW yönündeki sistem tanımlaması analiz sonuçları (Şafak, Çelебi, 1991)

mod	f (Hz)	$\xi$
1	0.2737	0.0218
2	0.5214	0.0356
3	1.1023	0.0242
4	3.1169	0.0161
5	1.5392	0.0363
6	1.2061	0.0522
7	2.5748	0.0289
8	0.8565	0.0880
9	1.9330	0.0434
10	0.6310	0.1500
11	2.0359	0.0506
12	1.7517	0.0609
13	2.7994	0.0405
14	2.7077	0.0437
15	2.2042	0.0566
16	1.3963	0.1048
17	1.2226	0.1899
18	2.3019	0.0991

Tablo.9. CH3:CH1 kayıtlarının analizi ile bulunan NS yönündeki sonuçlar

mod	f (Hz)	std	$\xi$	std
1	0.2814	0.0004	0.0216	0.0010
2	0.5300	0.0034	0.0148	0.0034
3	0.8092	0.0039	0.0183	0.0030
4	0.9774	0.0015	0.0310	0.0057
5	1.3374	0.0047	0.0358	0.0034
6	1.6816	0.0026	0.0214	0.0033

Tablo.10. CH3:CH1 kayıtlarının analizi ile bulunan EW yönündeki sonuçlar

mod	f (Hz)	std	$\xi$	std
1	0.2728	0.0001	0.0129	0.0001
2	0.5153	0.0002	0.0177	0.0003
3	0.7798	0.0010	0.0233	0.0053
4	0.9647	0.0023	0.0120	0.0043
5	1.2216	0.0110	0.0358	0.0033
6				

## KAYNAKLAR

1. Çelebi, M., Şafak, E. (1991). Seismic response of Transamerica building. I: Data and preliminary analysis. J. of Struct. Eng., ASCE, Vol.117, 2389-2404.
2. Kadakal, U. (1994). A study on the application of system identification techniques in earthquake engineering. MS Thesis, Boğazici University, İstanbul.
3. Kadakal, U., Yüzügüllü, Ö. (1995). A comparative study on the identification methods for the autoregressive modelling from the ambient vibration records. Soil Dyn. and Earthquake Eng. (In press).
4. Ljung, L. (1987). System identification-theory for the user. Prentice-Hall, Englewood Cliffs, New Jersey.
5. Stephen, R.M., Hollings, J.P., Bouwcamp, J.G. (1974). Dynamic behavior of a multi-story pyramid shaped building. EERC Report 73-17. University of California, Berkeley.
6. Şafak, E. (1988). Analysis of recordings in structural engineering: Adaptive filtering, prediction and control. USGS Open file report 88-647.
7. Şafak, E., Çelebi, M. (1991). Seismic response of transamerica building. II: System identification. J. of Struct. Eng., ASCE, Vol.117, 2405-2425
8. Şafak, E., Çelebi, M. (1992). Seismic response of Pasific Park Plaza. II: System identification. J. of Struct. Eng., ASCE, Vol.118, 1566-1589.